

NUOVA GEOMETRIA

Il diametro del nocciolo interno delle viti Ø8, Ø10 e Ø12 mm è stato maggiorato per garantire prestazioni più elevate in applicazioni su piastra spessa. Nelle connessioni acciaio-legno la nuova geometria consente di raggiungere un incremento di resistenza di oltre il 15%.

FISSAGGIO PIASTRE

Il sottotesta troncoconico genera un effetto incastro con il foro circolare della piastra e garantisce eccellenti performance statiche. La geometria senza spigoli della testa riduce i punti di concentrazione dello sforzo e dona robustezza alla vite.

PUNTA 3 THORNS

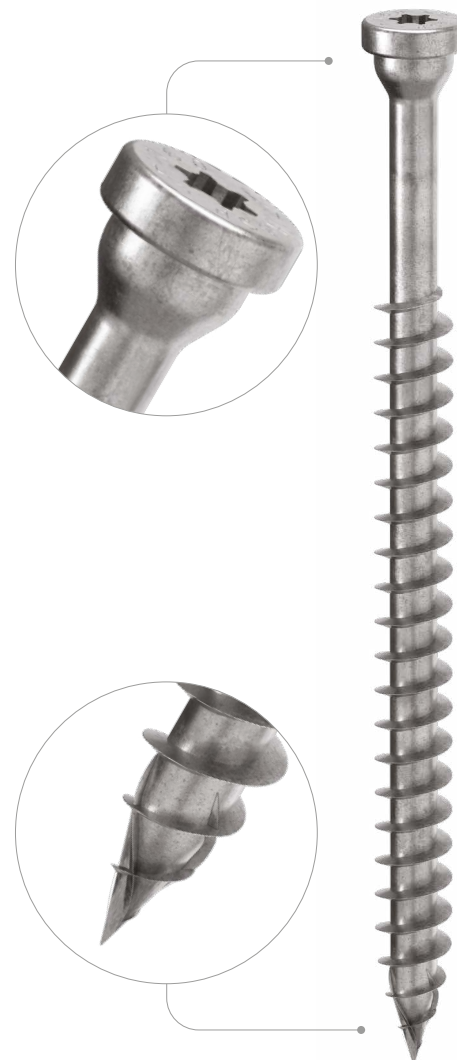
Grazie alla punta 3 THORNS, le distanze minime di installazione si riducono. Possono essere utilizzate più viti in meno spazio e viti di dimensioni maggiori in elementi più piccoli.

Costi e tempi per la realizzazione del progetto sono minori.



BIT INCLUDED

DIAMETRO [mm]	3	8	12	12
LUNGHEZZA [mm]	25	60	200	200
CLASSE DI SERVIZIO	SC1	SC2		
CORROSIVITÀ ATMOSFERICA	C1	C2		
CORROSIVITÀ DEL LEGNO	T1	T2		
MATERIALE	Zn ELECTRO PLATED	acciaio al carbonio elettrozincato		



METAL-to-TIMBER recommended use:



CAMPPI DI IMPIEGO

- pannelli a base di legno
- legno massiccio
- legno lamellare
- X-LAM e LVL
- legni ad alta densità



MULTISTOREY

Ideale nelle giunzioni acciaio-legno in combinazione con piastre di grosse dimensioni realizzate su misura (customized plates) progettate per edifici multipiano in legno.

TITAN

Valori testati, certificati e calcolati anche per il fissaggio di piastre standard Rothoblaas.

CODICI E DIMENSIONI

	d ₁ [mm]	CODICE	L [mm]	b [mm]	A _P [mm]	pz.
8 TX 40		HBSPL860	60	52	1÷10	100
		HBSPL880	80	55	1÷15	100
		HBSPL8100	100	75	1÷15	100
		HBSPL8120	120	95	1÷15	100
		HBSPL8140	140	110	1÷20	100
		HBSPL8160	160	130	1÷20	100
10 TX 40		HBSPL1080	80	60	1÷10	50
		HBSPL10100	100	75	1÷15	50
		HBSPL10120	120	95	1÷15	50
		HBSPL10140	140	110	1÷20	50
		HBSPL10160	160	130	1÷20	50
		HBSPL10180	180	150	1÷20	50

	d ₁ [mm]	CODICE	L [mm]	b [mm]	A _P [mm]	pz.
12 TX 50		HBSPL12100	100	75	1÷15	25
		HBSPL12120	120	90	1÷20	25
		HBSPL12140	140	110	1÷20	25
		HBSPL12160	160	120	1÷30	25
		HBSPL12180	180	140	1÷30	25
		HBSPL12200	200	160	1÷30	25

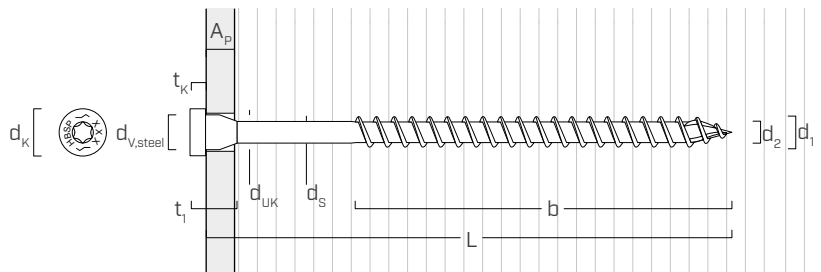
PRODOTTI CORRELATI



TORQUE LIMITER
LIMITATORE DI COPPIA

pag. 408

GEOMETRIA E CARATTERISTICHE MECCANICHE



GEOMETRIA

Diametro nominale	d ₁	[mm]	8	10	12
Diametro testa	d _K	[mm]	13,50	16,50	18,50
Diametro nocciolo	d ₂	[mm]	5,90	6,60	7,30
Diametro gambo	d _S	[mm]	6,30	7,20	8,55
Spessore testa	t ₁	[mm]	13,50	16,50	19,50
Spessore rondella	t _K	[mm]	4,50	5,00	5,50
Diametro sottotesta	d _{UK}	[mm]	10,00	12,00	13,00
Diametro foro su piastra acciaio	d _{V,steel}	[mm]	11,0	13,0	14,0
Diametro preforo ⁽¹⁾	d _{V,S}	[mm]	5,0	6,0	7,0
Diametro preforo ⁽²⁾	d _{V,H}	[mm]	6,0	7,0	8,0

(1) Preforo valido per legno di conifera (softwood).

(2) Preforo valido per legni duri (hardwood) e per LVL in legno di faggio.

PARAMETRI MECCANICI CARATTERISTICI

Diametro nominale	d ₁	[mm]	8	10	12
Resistenza a trazione	f _{tens,k}	[kN]	32,0	40,0	50,0
Momento di snervamento	M _{y,k}	[Nm]	33,4	45,0	65,0

I parametri meccanici sono ricavati per via analitica e validati da prove sperimentali (HBS PLATE Ø10 e Ø12).

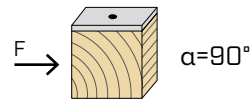
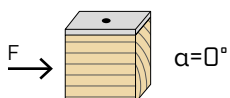
	legno di conifera (softwood)		LVL di conifera (LVL softwood)	LVL di faggio preforato (Beech LVL predrilled)
Parametro di resistenza ad estrazione	f _{ax,k}	[N/mm ²]	11,7	15,0
Parametro di penetrazione della testa	f _{head,k}	[N/mm ²]	10,5	20,0
Densità associata	ρ _a	[kg/m ³]	350	500
Densità di calcolo	ρ _k	[kg/m ³]	≤ 440	410 ÷ 550
				590 ÷ 750

Per applicazioni con materiali differenti si rimanda a ETA-11/0030.

DISTANZE MINIME PER VITI SOLLECITATE A TAGLIO | ACCIAIO-LEGNO

 viti inserite SENZA preforo

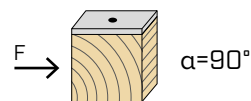
$\rho_k \leq 420 \text{ kg/m}^3$



d_1 [mm]	8	10	12	
a_1 [mm]	12·d·0,7	67	84	101
a_2 [mm]	5·d·0,7	28	35	42
$a_{3,t}$ [mm]	15·d	120	150	180
$a_{3,c}$ [mm]	10·d	80	100	120
$a_{4,t}$ [mm]	5·d	40	50	60
$a_{4,c}$ [mm]	5·d	40	50	60

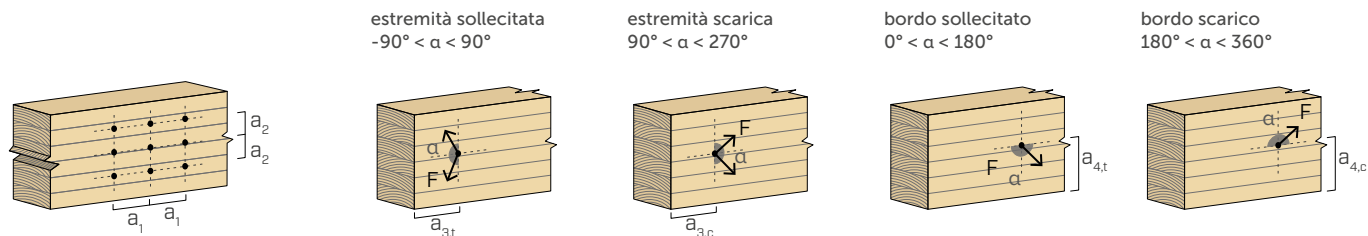
α = angolo tra forza e fibre
 $d = d_1$ = diametro nominale vite

 viti inserite CON preforo



d_1 [mm]	8	10	12	
a_1 [mm]	5·d·0,7	28	35	42
a_2 [mm]	3·d·0,7	17	21	25
$a_{3,t}$ [mm]	12·d	96	120	144
$a_{3,c}$ [mm]	7·d	56	70	84
$a_{4,t}$ [mm]	3·d	24	30	36
$a_{4,c}$ [mm]	3·d	24	30	36

α = angolo tra forza e fibre
 $d = d_1$ = diametro nominale vite

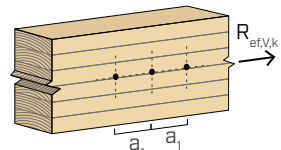


NOTE a pagina 221.

NUMERO EFFICACE PER VITI SOLLECITATE A TAGLIO

La capacità portante di un collegamento realizzato con più viti, tutte dello stesso tipo e dimensione, può essere minore della somma delle capacità portanti del singolo mezzo di unione. Per una fila di n viti disposte parallelamente alla direzione della fibratura ad una distanza a_1 , la capacità portante caratteristica efficace è pari a:

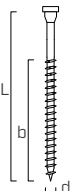
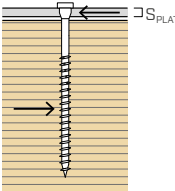
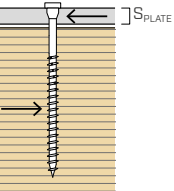
$$R_{ef,V,k} = n_{ef} \cdot R_{V,k}$$



Il valore di n_{ef} è riportato nella tabella sottostante in funzione di n e di a_1 .

n	$a_1^{(*)}$										
	4·d	5·d	6·d	7·d	8·d	9·d	10·d	11·d	12·d	13·d	$\geq 14·d$
2	1,41	1,48	1,55	1,62	1,68	1,74	1,80	1,85	1,90	1,95	2,00
3	1,73	1,86	2,01	2,16	2,28	2,41	2,54	2,65	2,76	2,88	3,00
4	2,00	2,19	2,41	2,64	2,83	3,03	3,25	3,42	3,61	3,80	4,00
5	2,24	2,49	2,77	3,09	3,34	3,62	3,93	4,17	4,43	4,71	5,00

(*)Per valori intermedi di a_1 è possibile interpolare linearmente.

geometria			TAGLIO						
			acciaio-legno piastra sottile $\varepsilon=90^\circ$	acciaio-legno piastra intermedia $\varepsilon=90^\circ$	acciaio-legno piastra spessa $\varepsilon=90^\circ$				
						S_{PLATE}			
d_1 [mm]	L [mm]	b [mm]	$R_{V,90,k}$ [kN]	$R_{V,90,k}$ [kN]	$R_{V,90,k}$ [kN]				
S_{PLATE}			2 mm	3 mm	4 mm	5 mm	6 mm	8 mm	
8	60	52	3,14	3,09	3,03	3,64	4,13	5,12	5,12
	80	55	4,22	4,17	4,11	4,72	5,22	6,21	6,21
	100	75	5,31	5,25	5,20	5,68	6,04	6,78	6,78
	120	95	5,86	5,86	5,86	6,22	6,57	7,29	7,29
	140	110	6,24	6,24	6,24	6,59	6,95	7,67	7,67
	160	130	6,74	6,74	6,74	7,10	7,46	8,17	8,17
S_{PLATE}			10 mm	12 mm	12 mm	10 mm	12 mm	12 mm	
10	80	60	4,87	4,81	4,75	5,42	6,50	7,58	7,58
	100	75	6,14	6,08	6,01	6,61	7,56	8,50	8,50
	120	95	7,34	7,34	7,28	7,70	8,42	9,14	9,14
	140	110	7,81	7,81	7,81	8,17	8,89	9,61	9,61
	160	130	8,44	8,44	8,44	8,80	9,52	10,24	10,24
	180	150	8,68	8,68	8,68	9,12	10,00	10,87	10,87
S_{PLATE}			16 mm	16 mm	16 mm	10 mm	12 mm	20 mm	
12	100	75	6,90	6,83	6,76	8,16	9,41	10,67	10,67
	120	90	8,34	8,27	8,20	9,32	10,29	11,27	11,27
	140	110	9,73	9,71	9,64	10,49	11,26	12,03	12,03
	160	120	10,11	10,11	10,11	10,87	11,64	12,41	12,41
	180	140	10,86	10,86	10,86	11,63	12,40	13,17	13,17
	200	160	11,12	11,12	11,12	12,05	12,99	13,92	13,92

ε = angolo fra vite e fibre

NOTE e PRINCIPI GENERALI a pagina 221.

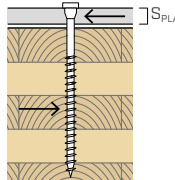
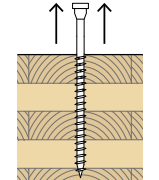
geometria			TAGLIO						
			acciaio-legno piastra sottile $\varepsilon=0^\circ$		acciaio-legno piastra intermedia $\varepsilon=0^\circ$		acciaio-legno piastra spessa $\varepsilon=0^\circ$		
d₁ [mm]	L [mm]	b [mm]	R_{V,0,k} [kN]		R_{V,0,k} [kN]		R_{V,0,k} [kN]		
S_{PLATE}			2 mm	3 mm	4 mm	5 mm	6 mm	8 mm	
8	60	52	1,26	1,23	1,21	1,54	1,82	2,38	2,38
	80	55	1,69	1,67	1,65	1,94	2,19	2,70	2,70
	100	75	2,12	2,10	2,08	2,39	2,65	3,18	3,18
	120	95	2,56	2,53	2,51	2,84	3,13	3,70	3,70
	140	110	2,99	2,97	2,95	3,22	3,46	3,93	3,93
	160	130	3,17	3,17	3,17	3,40	3,62	4,08	4,08
S_{PLATE}			3 mm	4 mm	5 mm	6 mm	8 mm	10 mm	12 mm
10	80	60	1,95	1,92	1,90	2,22	2,77	3,32	3,32
	100	75	2,46	2,43	2,41	2,73	3,28	3,83	3,83
	120	95	2,96	2,94	2,91	3,26	3,84	4,43	4,43
	140	110	3,47	3,44	3,42	3,76	4,34	4,92	4,92
	160	130	3,97	3,95	3,92	4,20	4,66	5,11	5,11
	180	150	4,17	4,17	4,17	4,39	4,85	5,30	5,30
S_{PLATE}			4 mm	5 mm	6 mm	8 mm	10 mm	12 mm	16 mm
12	100	75	2,76	2,73	2,70	3,36	3,95	4,54	4,54
	120	90	3,34	3,31	3,28	3,94	4,55	5,15	5,15
	140	110	3,91	3,88	3,85	4,56	5,21	5,86	5,86
	160	120	4,49	4,46	4,43	5,10	5,72	6,34	6,34
	180	140	5,06	5,03	5,00	5,56	6,06	6,56	6,56
	200	160	5,33	5,33	5,33	5,82	6,31	6,79	6,79

ε = angolo fra vite e fibre

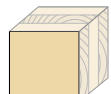
geometria				TAGLIO			TRAZIONE				
		legno-legno $\varepsilon=90^\circ$	legno-legno $\varepsilon=0^\circ$	pannello-legno		estrazione filetto $\varepsilon=90^\circ$	estrazione filetto $\varepsilon=0^\circ$	penetrazione testa	trazione acciaio		
8	d₁	L	b	A	R _{V,90,k} [kN]	R _{V,0,k} [kN]	S _{PAN} [mm]	R _{V,k} [kN]	R _{ax,90,k} [kN]	R _{ax,0,k} [kN]	
	60	52	8		1,62	1,35	22	2,40	4,85	1,45	2,07
	80	55	25		2,83	1,70		2,94	5,56	1,67	2,07
	100	75	25		2,83	2,13		2,94	7,58	2,27	2,07
	120	95	25		2,83	2,33		2,94	9,60	2,88	2,07
	140	110	30		2,93	2,42		2,94	11,11	3,33	2,07
10	160	130	30		2,93	2,42	25	2,94	13,13	3,94	2,07
	80	60	20		3,16	2,07		3,76	7,58	2,27	3,09
	100	75	25		3,65	2,59		3,76	9,47	2,84	3,09
	120	95	25		3,65	3,01		3,76	12,00	3,60	3,09
	140	110	30		3,75	3,11		3,76	13,89	4,17	3,09
	160	130	30		3,75	3,11		3,76	16,42	4,92	3,09
12	180	150	30		3,75	3,11	25	3,76	18,94	5,68	3,09
	100	75	25		4,49	2,99		4,65	11,36	3,41	3,88
	120	90	30		4,69	3,54		4,65	13,64	4,09	3,88
	140	110	30		4,69	3,88		4,65	16,67	5,00	3,88
	160	120	40		4,97	4,15		4,65	18,18	5,45	3,88
	180	140	40		4,97	4,15		4,65	21,21	6,36	3,88
	200	160	40		4,97	4,15		4,65	24,24	7,27	3,88

ε = angolo fra vite e fibre

NOTE e PRINCIPI GENERALI a pagina 221.

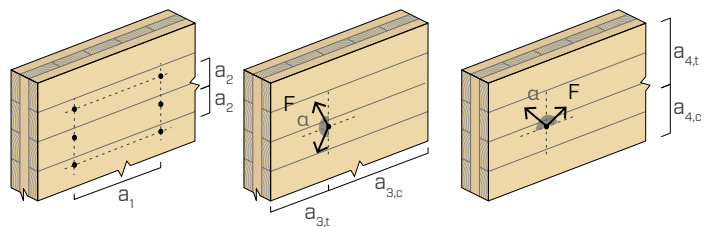
geometria			TAGLIO								TRAZIONE	
			acciaio-X-LAM lateral face								estrazione filetto lateral face	trazione acciaio
												
d₁ [mm]	L [mm]	b [mm]	R_{V,90,k} [kN]								R_{ax,90,k} [kN]	R_{tens,k} [kN]
8	S_{PLATE}		2 mm	3 mm	4 mm	5 mm	6 mm	8 mm	10 mm	12 mm	-	-
	60	52	2,85	2,81	2,76	3,33	3,80	4,75	4,75	4,75	4,49	32,00
	80	55	3,84	3,79	3,74	4,31	4,78	5,72	5,72	5,72	5,15	
	100	75	4,82	4,77	4,72	5,22	5,62	6,42	6,42	6,42	7,02	
	120	95	5,52	5,52	5,52	5,86	6,20	6,89	6,89	6,89	8,89	
	140	110	5,87	5,87	5,87	6,21	6,55	7,24	7,24	7,24	10,30	
10	160	130	6,34	6,34	6,34	6,68	7,02	7,70	7,70	7,70	12,17	40,00
	S_{PLATE}		3 mm	4 mm	5 mm	6 mm	8 mm	10 mm	12 mm	16 mm	-	
	80	60	4,43	4,37	4,32	4,94	5,97	7,00	7,00	7,00	7,02	
	100	75	5,58	5,52	5,47	6,07	7,06	8,05	8,05	8,05	8,78	
	120	95	6,73	6,67	6,62	7,11	7,87	8,63	8,63	8,63	11,12	
	140	110	7,36	7,36	7,36	7,70	8,38	9,07	9,07	9,07	12,87	
12	160	130	7,94	7,94	7,94	8,28	8,97	9,65	9,65	9,65	15,21	50,00
	180	150	8,28	8,28	8,28	8,67	9,45	10,24	10,24	10,24	17,55	
	S_{PLATE}		4 mm	5 mm	6 mm	8 mm	10 mm	12 mm	16 mm	20 mm	-	
	100	75	6,28	6,21	6,14	7,46	8,65	9,84	9,84	9,84	10,53	
	120	90	7,58	7,52	7,45	8,61	9,63	10,66	10,66	10,66	12,64	
	140	110	8,89	8,82	8,76	9,71	10,53	11,36	11,36	11,36	15,44	
14	160	120	9,51	9,51	9,51	10,24	10,98	11,71	11,71	11,71	16,85	50,00
	180	140	10,21	10,21	10,21	10,95	11,68	12,41	12,41	12,41	19,66	
	200	160	10,60	10,60	10,60	11,44	12,28	13,11	13,11	13,11	22,46	

DISTANZE MINIME PER VITI SOLLECITATE A TAGLIO E CARICATE ASSIALMENTE | X-LAM

viti inserite **SENZA** preforo

lateral face

d₁ [mm]	8	10	12	
a₁ [mm]	4·d	32	40	48
a₂ [mm]	2,5·d	20	25	30
a_{3,t} [mm]	6·d	48	60	72
a_{3,c} [mm]	6·d	48	60	72
a_{4,t} [mm]	6·d	48	60	72
a_{4,c} [mm]	2,5·d	20	25	30

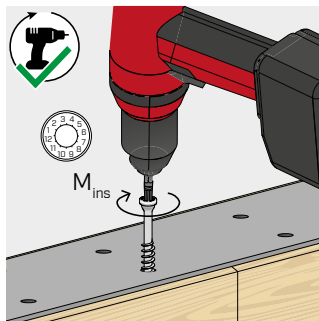
d = d₁ = diametro nominale vite

NOTE e PRINCIPI GENERALI a pagina 221.

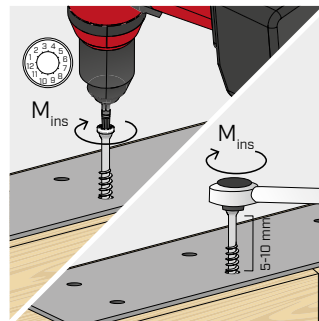
INSTALLAZIONE



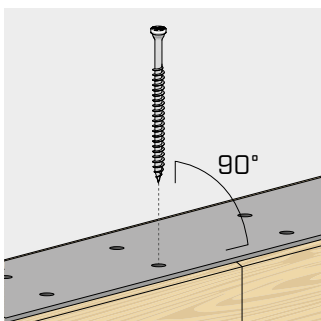
Non è consentito l'impiego di avvitatori a impulsi/percussione.



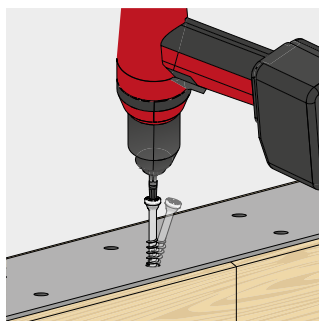
Assicurare il corretto serraggio.
Si consiglia l'impiego di avvitatori con controllo di coppia torcente, ad esempio mediante TORQUE LIMITER.
In alternativa serrare con chiave dinamometrica.



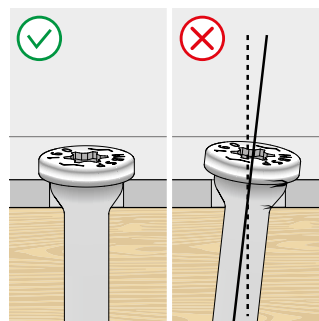
HBSPL	d_1 [mm]	$M_{ins,rec}$ [Nm]
Ø8	8	25
Ø10	10	35
Ø12	12	50



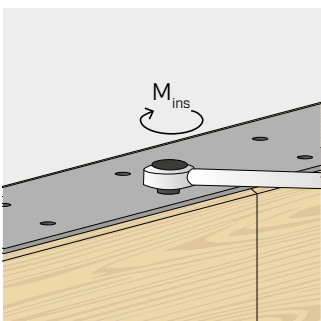
Rispettare l'angolo di inserimento. Per inclinazioni molto precise si consiglia l'impiego di foro guida o preforo.



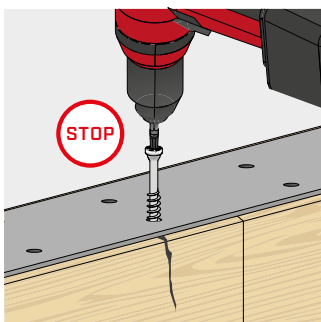
Evitare il piegamento.



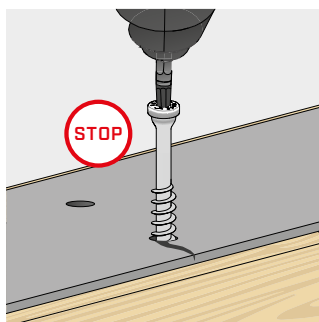
Assicurare il contatto completo tra l'intera superficie della testa della vite e l'elemento metallico



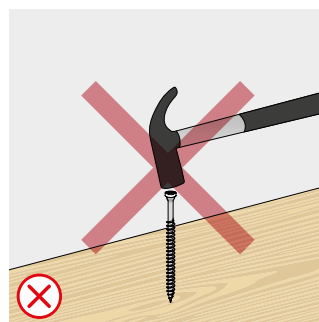
Terminata l'installazione, i dispositivi di fissaggio possono essere ispezionati utilizzando una chiave dinamometrica.



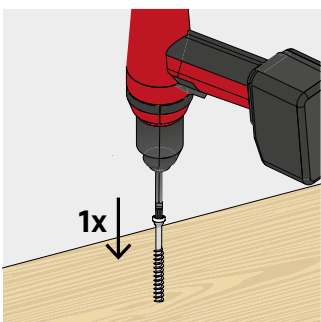
Interrompere l'installazione se si notano danni al fissaggio o al legno.



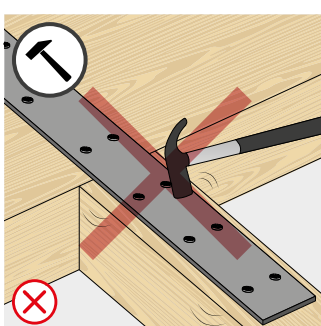
Interrompere l'installazione se si notano danni al fissaggio o alle piastre metalliche.



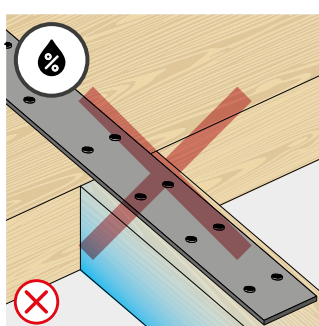
Non martellare le viti per inserire la punta nel legno.



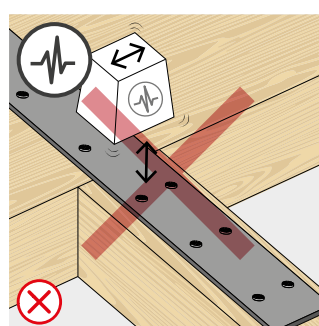
Installare le viti in un'unica corsa continua.



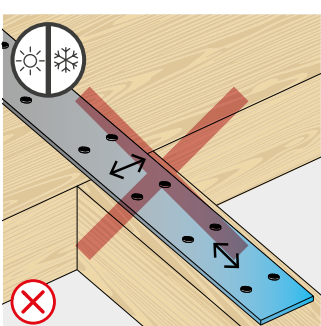
Evitare sollecitazioni accidentali in fase di montaggio.



Proteggere la connessione ed evitare variazioni di umidità e fenomeni di ritiro e rigonfiamento del legno.



Utilizzo non consentito per carichi dinamici.



Evitare alterazioni dimensionali del metallo.

VALORI STATICI

PRINCIPI GENERALI

- I valori caratteristici sono secondo normativa EN 1995:2014 in accordo a ETA-11/0030.
- I valori di progetto si ricavano dai valori caratteristici come segue:

$$R_d = \frac{R_k \cdot k_{mod}}{\gamma_M}$$

I coefficienti γ_M e k_{mod} sono da assumersi in funzione della normativa vigente utilizzata per il calcolo.

- La resistenza di progetto a trazione del connettore è la minima fra la resistenza di progetto lato legno ($R_{ax,d}$) e la resistenza di progetto lato acciaio ($R_{tens,d}$).

$$R_{ax,d} = \min \left\{ \begin{array}{l} \frac{R_{ax,k} \cdot k_{mod}}{\gamma_M} \\ \frac{R_{tens,k}}{\gamma_{M2}} \end{array} \right.$$

- Per i valori di resistenza meccanica e per la geometria delle viti si è fatto riferimento a quanto riportato in ETA-11/0030.
- Il dimensionamento e la verifica degli elementi in legno e delle piastre metalliche devono essere svolti a parte.
- Il posizionamento delle viti deve essere realizzato nel rispetto delle distanze minime.
- Le resistenze caratteristiche a taglio sono valutate per viti inserite senza preforo; nel caso di viti inserite con preforo è possibile ottenere valori di resistenza maggiori.
- Le resistenze a taglio sono state calcolate considerando la parte filettata completamente inserita nel secondo elemento.
- Le resistenze caratteristiche a taglio sono valutate per piastre con spessore $= S_{PLATE}$ considerando il caso di piastra sottile ($S_{PLATE} \leq 0,5 d_1$), intermedia ($0,5 d_1 \leq S_{PLATE} \leq d_1$) o spessa ($S_{PLATE} \geq d_1$).
- Nel caso di sollecitazione combinata di taglio e trazione, deve essere soddisfatta la seguente verifica:

$$\left(\frac{F_{v,d}}{R_{v,d}} \right)^2 + \left(\frac{F_{ax,d}}{R_{ax,d}} \right)^2 \leq 1$$

- Nel caso di connessioni acciaio-legno solitamente è vincolante la resistenza a trazione dell'acciaio rispetto al distacco o alla penetrazione della testa.
- Le resistenze caratteristiche ad estrazione del filetto sono state valutate considerando una lunghezza di infissione pari a a .
- Nel caso di connessioni acciaio-legno con piastra spessa è necessario valutare gli effetti legati alla deformazione del legno ed installare i connettori seguendo le istruzioni di montaggio.
- I valori tabellati sono valutati considerando parametri di resistenza meccanica delle viti HBS PLATE Ø10 e Ø12 ricavati per via analitica e validati da prove sperimentali.
- Per configurazioni di calcolo differenti è disponibile il software MyProject (www.rothoblaas.it).

NOTE | LEGNO

- Le resistenze caratteristiche a taglio legno-legno sono state valutate considerando sia un angolo ϵ di 90° ($R_{V,90,k}$) sia di 0° ($R_{V,0,k}$) fra le fibre del secondo elemento ed il connettore.
- Le resistenze caratteristiche ad estrazione del filetto sono state valutate considerando sia un angolo ϵ di 90° ($R_{ax,90,k}$) sia di 0° ($R_{ax,0,k}$) fra le fibre ed il connettore.
- In fase di calcolo si è considerata una massa volumica degli elementi lignei pari a $\rho_k = 385 \text{ kg/m}^3$. Per valori di ρ_k differenti, le resistenze tabellate possono essere convertite tramite il coefficiente k_{dens} :

$$R'_{V,k} = k_{dens,v} \cdot R_{V,k}$$

$$R'_{ax,k} = k_{dens,ax} \cdot R_{ax,k}$$

$$R'_{head,k} = k_{dens,ax} \cdot R_{head,k}$$

ρ_k [kg/m^3]	350	380	385	405	425	430	440
C-GL	C24	C30	GL24h	GL26h	GL28h	GL30h	GL32h
$k_{dens,v}$	0,90	0,98	1,00	1,02	1,05	1,05	1,07
$k_{dens,ax}$	0,92	0,98	1,00	1,04	1,08	1,09	1,11

I valori di resistenza così determinati potrebbero differire, a favore di sicurezza, da quelli derivanti da un calcolo esatto.

NOTE | X-LAM

- I valori caratteristici sono secondo le specifiche nazionali ÖNORM EN 1995 - Annex K.
- In fase di calcolo si è considerata una massa volumica per gli elementi in X-LAM pari a $\rho_k = 350 \text{ kg/m}^3$.
- Le resistenze caratteristiche a taglio sono valutate considerando una lunghezza di infissione minima della vite pari a $4 \cdot d_1$.
- La resistenza caratteristica a taglio è indipendente dalla direzione della fibra-tura dello strato esterno dei pannelli in X-LAM.

DISTANZE MINIME

NOTE | LEGNO

- Le distanze minime sono secondo normativa EN 1995:2014 in accordo a ETA-11/0030.
- Nel caso di giunzione legno-legno le spaziature minime (a_1, a_2) devono essere moltiplicate per un coefficiente 1,5.
- Nel caso di giunzioni con elementi di abete di Douglas (Pseudotsuga menziesii) le spaziature e le distanze minime parallele alla fibra devono essere moltiplicate per un coefficiente 1,5.

NOTE | X-LAM

- Le distanze minime sono in accordo a ETA-11/0030 e da ritenersi valide ove non diversamente specificato nei documenti tecnici dei pannelli X-LAM.
- Le distanze minime sono valide per spessore minimo X-LAM $t_{CLT,min} = 10 \cdot d_1$.
- Le distanze minime per applicazione su narrow face sono disponibili a pagina 39.

Teoria, pratica e campagne sperimentali:
la nostra esperienza è nelle tue mani.
Scarica lo Smartbook AVVITATURA.

